

этого измеряют угол и шаг резьбы реплики на универсальном микроскопе. Затем разрезают гайку и измеряют те же параметры резьбы.

В результате проведенного таким образом эксперимента получены расхождения значений измеренных параметров, которые не превышали:

- для шага резьбы — порядка 0,015 мм;
- для угла профиля резьбы — порядка 1°.

Проведенные исследования позволяют сопоставить полученные результаты измерений параметров гайки и реплики. Учитывая начальные стадии экспериментов, сходимости можно считать удовлетворительной. На результаты эксперимента оказывали влияние следующие факторы:

- свойства материала, из которого выполнялась реплика;
- отношение полимера к мономеру в приготовленной смеси;
- свойства жидкости, которой пользовались для облегчения отделения реплики от металла;
- способ отделения реплики от резьбы гайки;
- качество поверхности исследуемой резьбы (шероховатость и точность изготовления).

Полученные результаты пока нельзя считать удовлетворительными настолько, чтобы предложенный способ можно было рекомендовать для непосредственного использования на практике. Однако результаты эксперимента можно считать обнадеживающими, и мы считаем, что следует проводить дальнейшие исследования в этом направлении.

Литература

1. Dąbek Z., Beszczyński W. Metrologia i kontrola techniczna /ATR. Bydgoszcz, 1985. S. 112.
2. Sadowski A. Metrologia długości i kąta /WNT. Warszawa, 1980. S. 287.
3. Szewczyk K. Połączenia gwintowe /PWN. Warszawa, 1991. S. 10–15.

НОВЫЙ МЕТОД И РЕЗУЛЬТАТЫ ИЗМЕРЕНИЙ СИЛ ТРЕНИЯ КАЧЕНИЯ

Джилавдари И.З., Русак А.А.,

Белорусская государственная политехническая академия, г. Минск

Введение. Наиболее чувствительным методом измерения слабых сил и моментов сил трения качения является маятниковый метод [1–2]. Однако этот метод имеет большую методическую погрешность, поскольку приходится предполагать, что сила трения качения не зависит от скорости. В докладе рассматривается другой, весьма простой и точный, метод оценки сил и коэффициентов трения, который позволяет исключить данную погрешность.

Математическая модель метода. Расчетная схема маятника представлена на рис. 1.

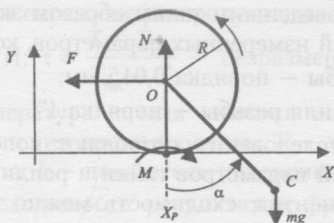


Рис. 1

На нем показан шар радиусом R , находящийся на плоской поверхности — опоре маятника, сила тяжести mg , приложенная к центру масс C маятника, сила реакции опоры N , сила инерции F , которая стремится вызвать скольжение шара, а также момент силы трения качения M . Центр масс маятника находится на расстоянии $l_c = OC$ от центра шара.

Если максимальные углы α отклонения маятника невелики, т.е. $\alpha \ll 1$, уравнение колебаний маятника принимает вид

$$\ddot{\alpha} + \omega^2 \alpha = -\mu \frac{mgR}{I_p} \operatorname{sign} \dot{\alpha}, \quad (1)$$

где

$$\omega^2 = \frac{mgl_c}{I_p}, \quad (2)$$

$$I_p = I_c + m(l_c - R)^2. \quad (3)$$

Через I_p обозначен момент инерции маятника относительно оси, проходящей через точку контакта шара и опоры, коэффициент μ связывает силу трения качения с силой нормального давления: $F_{mp} \approx \mu mg$. Момент трения качения M вычисляется по формуле $M = RF_{mp}$.

Сила F равна произведению массы маятника на проекцию ускорения его центра масс на горизонтальное направление

$$F \approx -m\alpha_0 \omega^2 (l_c - R) \cos \omega t + \frac{1}{8} ml_c \alpha_0^3 \omega^2 (\cos \omega t + 3 \cos 3\omega t). \quad (4)$$

В данном методе предполагается, что сила трения качения зависит от линейной скорости качения шара по закону

$$F_{mp} = mg(b_0 + b_1|v| + b_2v^2). \quad (5)$$

Уравнение (1) решалось асимптотическим методом [3]. В первом приближении этого метода считают, что движение тела описывается уравнением

$$\alpha(t) = \beta(t) \cos(\omega t + \varphi), \quad (6)$$

в котором $\omega = \text{const}$. Во втором приближении учитывают в решении дополнительные гармоники частоты ω и зависимость частоты этих гармоник от амплитуды колебаний. При этом вид огибающей $\beta(t)$ в обоих приближениях сохраняется. В результате для огибающей получают следующее выражение:

$$\beta(t) = \frac{\beta_0 - \frac{k_1 \beta_0 + 2k_0}{\sqrt{-D}} \operatorname{tg}\left(\frac{1}{2}\sqrt{-Dt}\right)}{1 + \frac{k_1 + 2k_2 \beta_0}{\sqrt{-D}} \operatorname{tg}\left(\frac{1}{2}\sqrt{-Dt}\right)}, \quad (7)$$

если $D < 0$, или

$$\beta(t) = \frac{(\sqrt{D - k_1})\beta_0 - 2k_0 + [(\sqrt{D + k_1})\beta_0 + 2k_0] \exp(-\sqrt{Dt})}{\sqrt{D} + k_1 + 2k_2 \beta_0 + (\sqrt{D} - k_1 - 2k_2 \beta_0) \exp(-\sqrt{Dt})}, \quad (8)$$

если $D > 0$,

$$\text{где } D = k_1^2 - 4k_0 k_2; \quad (9)$$

k_0, k_1, k_2 — постоянные коэффициенты, связанные коэффициентами b_i соотношениями

$$k_0 = \frac{4R}{l_c T} b_0; \quad k_1 = \frac{2\pi^2 R^2}{l_c T^2} b_1; \quad k_2 = \frac{32\pi^2 R^3}{3l_c T^3} b_2, \quad (10)$$

где T — период колебаний.

Во втором приближении, в решении для $\alpha(t)$ появляются нечетные гармоники

$$\alpha(t) \approx \beta(t) \cos \psi(t) - \frac{4R}{\pi l_c} \sum_{n=1}^{\infty} \left(b_0 \frac{2b_2 v_0^2}{(2n+1)^2 - 4} \right) \frac{\sin(2n+1)\psi(t)}{(2n+1)[(2n+1)^2 - 1]}, \quad (11)$$

где $v_0 = \omega R \beta(t)$ амплитудное значение линейной скорости качения шара по плоскости, причем

$$\frac{d\psi}{dt} = \omega \left[1 - \frac{1}{\beta(t)^2} \left(\frac{R}{l_c} \right)^2 \left[\frac{6b_0^2}{\pi^2} + \frac{3b_0 b_1}{2\pi} v_0 + \left(\frac{b_1^2}{8} + \frac{32b_0 b_2}{9\pi^2} \right) \right] \right] \times$$

$$\times v_0^2 + \frac{b_1 b_2}{3\pi} v_0^3 + \frac{0,164 b_2^2}{\pi^2} v_0^4 \left. \right\}. \quad (12)$$

Из (12) видно, что период колебаний маятника квадратично зависит от параметров трения b_i . Формулы (11) и (12) позволяют установить методические погрешности решения уравнения (1) в первом приближении. При расчетах наличие гармоник и различие между $d\psi/dt$ и ω не учитывались.

Уравнения (7), (8) и (11), (12) содержат в себе все до сих пор известные решения уравнения (1), полученные в частных случаях [3].

Нетрудно видеть, что при выполнении равенства

$$l_c = R \quad (13)$$

амплитуда силы F будет минимальна при любых углах β_0 . В этом случае

$$F \approx \frac{1}{8} m R \beta_0^3 \omega^2 (\cos \omega t + 3 \cos 3\omega t). \quad (14)$$

Скольжение маятника будет отсутствовать, если $|F|_{\max} < k^0 mg$, где k^0 — коэффициент трения покоя. Отсюда следует, что условие отсутствия скольжения имеет вид

$$\frac{2\pi^2 R \beta_0^3}{T^2} < k^0 g. \quad (15)$$

В опытах, описанных ниже, это условие заведомо выполнялось. Однако процесс качения шара по плоскости представляет собой сложный кинематический и динамический процесс. Это связано с тем, что реально контакт шара с плоскостью происходит не в одной точке, а в пределах пятна конечных размеров. Поэтому качение шара всегда сопровождается деформацией формы и скольжением его поверхности относительно плоскости. В этих условиях можно ожидать, что даже малая сила F может каким-то образом повлиять на движение шара и всего маятника. В связи с этим были проведены измерения силы трения качения в случаях $l_c = R$ и $l_c > R$.

Описание метода. Проведенный анализ и полученные выше формулы позволяют построить новый метод измерений слабых сил трения, в частности трения качения. В соответствии с предлагаемым способом необходимо провести следующие операции:

1. Предварительно весь интервал значений амплитуд колебаний маятника от начальной β_0 до конечной β_n разбить на ряд последовательных интервалов, например с помощью меток на шкале. Без учета β_0 и β_n таких меток должно быть не менее трех.
2. Отклонить маятник на начальный угол β_0 , отпустить его и измерить время последовательного прохождения маятником выбран-

ных меток или отсчитать число колебаний, совершенных маятником по мере прохождения этих меток.

3. Определить период колебаний $T = \frac{2\pi}{\omega}$. Можно в качестве T взять

средний период, разделив полное время колебаний на полное число колебаний.

4. Решить задачу нелинейной аппроксимации полученного выше экспериментального закона затухания амплитуды колебаний маятника аналитической зависимостью (7) или (8) и определить коэффициенты k_0, k_1, k_2 .

5. По формулам (10) вычислить коэффициенты b_0, b_1 и b_2 .

Результаты измерений и вычислений. Описанным методом были измерены коэффициенты b_0, b_1 и b_2 в следующих парах трения: стальные подшипниковые шарики диаметром 12,3 мм — плитки Иогансона (табл. 1) и эти же шарики — полированное оптическое стекло К8 (табл. 2). В качестве смазки использовались приборное масло $\ddot{O}G-L7$ (более жидкое) и автомобильное масло $M-6_3/10\Gamma_1$ (более густое). В таблицах приведены значения работы, совершаемой каждой из трех составляющих силы трения качения, деленные на массу маятника. Все размерные значения представлены в СИ.

Таблица 1

Масса маятника, кг	Характер смазки	Баланс	b_0 ,	b_1 ,	b_2 ,	A_0/m ,	A_1/m ,	A_2/m ,	A/m ,	ε ,	k_c ,	k_{cp} ,	$k_{густ}$,	$t_{колеб}$
			10^{-6}	10^{-1}	10^{-1}	10^{-5}	10^{-4}	10^{-4}	10^{-3}	%	10^{-4}	10^{-4}	10^{-4}	
1	жидкая	$l = r$	3,60	1,1	714	3,2	7,55	5,36	1,32	0,03	1,49	2,23	3,08	3720
	без см.	$l = r$	8,04	0,8	723	8,13	6,1	6,3	1,32	0,62	1,31	1,93	2,80	3540
1,3	густая	$l = r$	2,36	1,2	341	1,91	9,41	3,64	1,32	0,35	1,63	2,31	3,32	3180
		$l = 5,3r$	5,8	1,3	570	10,4	35,1	33,9	7,00	0,4	3,91	6,29	9,14	4560
	жидкая	$l = r$	1,93	0,9	342	2,01	8,46	4,57	1,32	0,43	1,27	1,87	2,64	4020
		$l = 5,3r$	5,11	0,8	655	11,3	25	44	6,99	0,17	3,11	5,72	8,81	6000
	без см.	$l = 5,3r$	23,5	1,2	453	42,2	35,9	30,0	7,01	0,11	4,02	5,61	8,08	3120
		$l = r$	3,84	0,8	382	4,01	7,61	5,13	1,31	0,33	1,27	1,87	2,62	3420

Погрешность измерений силы трения определялась по формуле $\varepsilon = \frac{|W - A|}{W}$, где W — начальная потенциальная энергия маятника; A — полная работа силы трения до полной остановки маятника. В идеале должно быть, очевидно, $W = A$. Во всех опытах начальный угол колебаний $\beta_0 = 12^\circ$, конечный угол $\beta_n = 0$.

Масса маятника, кг	Характер смазки	Баланс	b_0	b_1	b_2	A_0/m	A_1/m	A_2/m	A/m	ε	k_c	k_{cp}	$k_{ГОСТ}$	$t_{казеб}$
			10^{-6}	10^{-1}	10^{-1}	10^{-5}	10^{-4}	10^{-4}	10^{-3}	%	10^{-4}	10^{-4}	10^{-4}	
1	густая	l = r	5,55	1,8	490	3,77	9,71	3,06	1,31	0,13	1,84	2,63	3,59	2640
	жидкая	l = r	7,96	1,4	449	6,31	9,62	3,23	1,31	0,30	1,67	2,23	3,13	2820
	без см.	l = r	8,11	1,2	504	7,26	8,33	4,17	1,32	0,45	1,46	2,01	2,80	3050
1,3	густая	l = 5,3 r	4,78	1,5	532	8,18	38,7	29,8	6,93	0,44	3,98	6,48	8,84	4440
	жидкая	l = 5,3 r	3,13	1,2	528	6,6	34,4	70,2	7,02	0,32	3,40	5,65	8,23	6000
	без см.	l = 5,3 r	4,36	1,1	503	9,19	34,7	34,5	7,02	0,09	3,34	5,48	7,89	5400

Чтобы иметь возможность сравнивать полученные результаты с результатами, полученными другими методами, проводился расчет коэффициента сопротивления качению, который определялся как отношение работы силы трения A к произведению веса маятника на полный путь S качения шара до его остановки: $k_c = \frac{A}{mgS}$ (среднее значение коэффициента трения по полному пути качения); среднего коэффициента трения как среднего по скорости от коэффициента трения $k_{cp} = \frac{1}{v_{\max}} \int \mu(v) dv$, а также безразмерного коэффициента трения качения, вычисленного в соответствии с процедурой, рекомендуемой существующим ГОСТом [2].

Значения коэффициентов b_i , k_c , k_{cp} и $k_{ГОСТ}$, приведенные в таблицах, вдвое больше реальных, поскольку они получены для опоры, содержащей два шарика.

Из таблиц, в частности, следует, что значения коэффициентов трения находятся между собой в соотношении $k_c < k_{cp} < k_{ГОСТ}$. Необходимо отметить, что ГОСТ допускает погрешность измерений не более 10%. Легко видеть, что стандартная процедура не соответствует этому требованию.

Видно также, что при $R < l_c$ значения коэффициентов трения возрастают. Следовательно, в этих опытах качение шаров сопровождалось дополнительным скольжением, хотя условие (15) отсутствия скольжения заведомо выполнялось.

Решение задачи аппроксимации контролировалось численным решением дифференциального уравнения (1) с полученными данным ме-

тодом значениями коэффициентов b_i . На рис. 2 представлены экспериментальные точки, огибающая (пунктирная кривая) и решение дифференциального уравнения для пары трения сталь—фторопласт для случая $l_c = R$ и $m = 1,5$ кг ($b_0 = 6,18 \cdot 10^{-4}$, $b_1 = 6,72$, $b_2 = -3406$; $k_{cp} = 3,08 \cdot 10^{-3}$, $k_c = 3,22 \cdot 10^{-3}$). На рис. 3 представлена зависимость коэффициента μ от скорости и значение коэффициента k_c во всем диапазоне изменения линейной скорости качения в данном опыте.

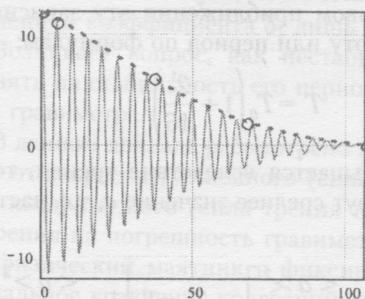


Рис. 2

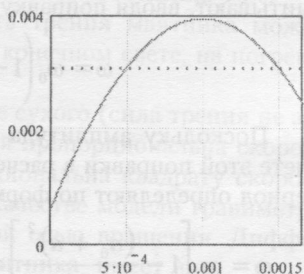


Рис. 3

Данный метод может стать основой для нового ГОСТа измерения трения качения, а также явиться новым, весьма чувствительным и точным инструментом для исследования особенностей взаимодействия поверхностей тел при их относительном движении.

Литература

1. Ахматов А.С. Молекулярная физика граничного трения. М.: ГИФМЛ, 1963.
2. ГОСТ 27640-88.
3. Боголюбов Н.Н., Митропольский Ю.А. Асимптотические методы в теории нелинейных колебаний. М.: Наука, 1974.

ВЛИЯНИЕ ТРЕНИЯ НА ТОЧНОСТЬ МАЯТНИКОВОГО ГРАВИМЕТРА

Джилавдари И.З.,

Белорусская государственная политехническая академия, г. Минск

Основным элементом маятникового гравиметра является физический маятник. Точность измерения ускорения свободного падения g гравиметром определяется, главным образом, стабильностью частоты ω_0 или периода T_0 свободных колебаний маятника. Соответствующие погрешности связаны между собой соотношением